

Errata do livro de Transmissão de Calor

Página	Linha	Onde se lê	Deve ler-se
2	38	... no Capítulo 3 deste livro	... no Capítulo 4 deste livro
3	8	... na Secção 1.1.	... na Secção 1.2.
5	12	... chamando-se a ε por emissividade do sendo ε a chamada emissividade do ...
11	20	$\pi \frac{D^2}{4} L \rho c_p \frac{dT}{dt} = LRI^2 - \pi DL(T - T_{ar}) - \pi DL\varepsilon(T^4 - T_e^4)$	$\pi \frac{D^2}{4} L \rho c_p \frac{dT}{dt} = LRI^2 - \pi DhL(T - T_{ar}) - \pi DL\sigma\varepsilon(T^4 - T_e^4)$
12	4	$RI^2 = \pi D(T - T_{ar}) + \pi D\varepsilon(T^4 - T_e^4)$	$RI^2 = \pi Dh(T - T_{ar}) + \pi D\sigma\varepsilon(T^4 - T_e^4)$
42	6	... as condições aos limites impostos.	...as condições aos limites impostas.
65	21	... dado que esta, é praticamente uniforme...	... dado que esta é praticamente uniforme...
66	6	... do corpo metálico, demonstrada pelo do corpo metálico, representada pelo...
71	28	... das equações, definidores do fenómeno em estudo.	... das equações definidoras do fenómeno em estudo.
72	8	...situações esquematizadas na Figura 1.18 situação esquematizada na Figura 1.18 (b) ...
72	10	...terceiro caso (Figura 1.18) terceiro caso (Figura 1.18 (c)) ...
94	20	... ao fim de 120 s, ao fim de 1360 s, ...
160	8	... considerem-se, respetivamente para consideram-se, respetivamente para ...
161	5	... envolvidas serem avaliadas envolvidas ser avaliadas ...
184	2	...na diferença de massas específicasna diferença de massas volúmicas
184	3	... campo gravítico terrestre de aceleração.	...campo gravítico terrestre de aceleração g.
234	10	$E_\lambda(\lambda, T) = I_\lambda(\lambda, T)$	$E_\lambda(\lambda, T) = \pi I_\lambda(\lambda, T)$
235	26	... expressa em $kW/m^2 \mu m$ para diferentes...	... expressa em $W/m^2 \mu m$ para diferentes...
209	9	... (NTU, na sigla inglesa proveniente)...	... (sigla inglesa NTU) ...
308	9	$\dot{Q}_{\max} = C_{\min}(T_{qe} - T_{je})$	$\varepsilon = \frac{\dot{Q}}{\dot{Q}_{\max}} \quad (5.29)$
308	10	... às Figuras 5.9, 5.10 e 5.20...	... às Figuras 5.9, 5.14 (a) e 5.14 (b).....
411	17	... para o instante 1200 s, para o instante 1360 s, ...

Figura 2.3 – P. 97

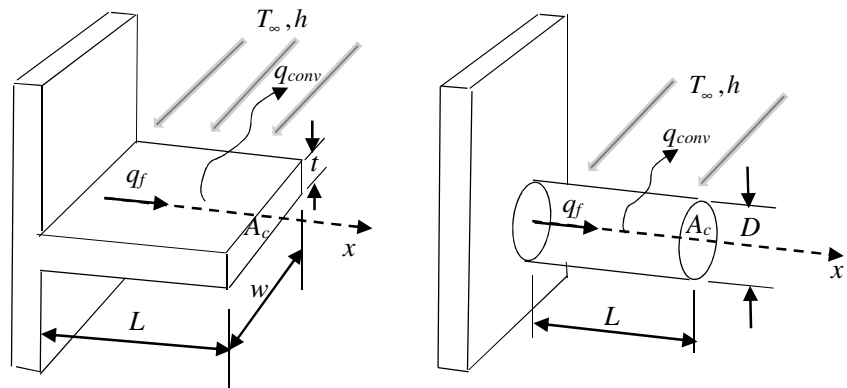
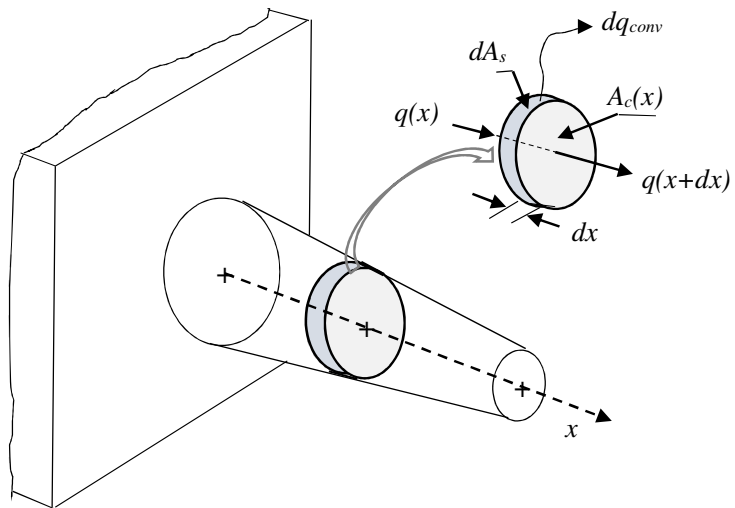


Figura 2.2 – P. 96



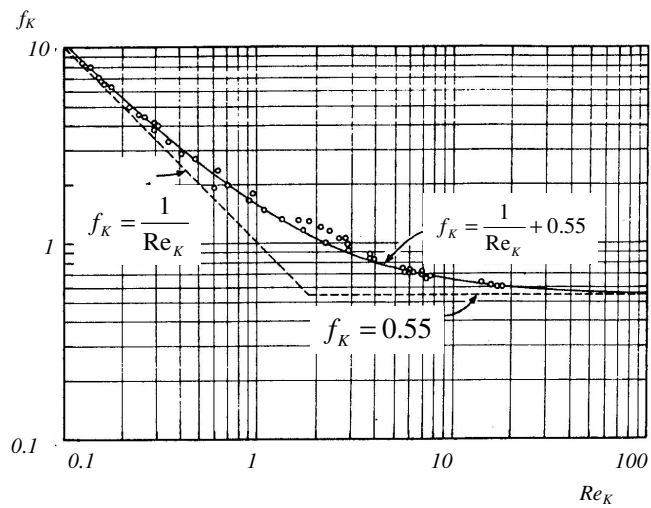


Figura 6.11 Dependência do coeficiente de atrito relativamente ao número de Reynolds.